

بررسی رابطه فرم ساختمان های مسکونی با میزان مصرف انرژی آنها در اقلیم گرم و خشک شهر سمنان

اسماعیل ضرغامی^۱، حیدر جهانبخش^۲، امیرحسین طحانیان^۳

تاریخ پذیرش مقاله:

۹۴/۵/۱۲

تاریخ دریافت مقاله:

۹۳/۱۲/۱۲

چکیده:

ارائه راهکارهای مناسب برای بهینه سازی مصرف انرژی ساختمان در تمامی کشورها امر بسیار مهمی به شمار می آید که باید به یک عزم همگانی تبدیل شود تا از این طریق سهم نسلهای بعدی از سوختهای فسیلی حفظ گردد. با توجه به سهم عده اتفاق انرژی در بخش ساختمان، اقدام جهت شناخت علل اتفاق انرژی و برنامه ریزی برای حذف آنها ، جزو اولویت های بخش طراحی مسکن قرار گرفته است. استفاده بهینه از سیستم های غیرفعال خورشیدی در جهت رسیدن به دو وجه مهم پایداری شامل ملاحظات اقتصادی و زیست محیطی از ویژگی های مهم این تحقیق است. در این پژوهش، تاثیر اشکال مختلف مستطیلی و غیر مستطیلی شامل T,U,L در واحدها ، به عنوان متغیر مستقل و میزان مصرف انرژی ساختمان به عنوان متغیر وابسته اصلی بررسی و سنجیده شده است. در هر مرحله از تحقیقات، واحدهای مسکونی (زیر سه طبقه در مقیاس کوچک) با مقداری مختلف پارامترها، طراحی شده و به منظور بررسی اثرات و اهمیت آنها، با استفاده از نرم افزار Ecotect ، شبیه سازی و تجزیه و تحلیل نتایج صورت گرفته است. نتیجه این است که شکل L با نسبت عمق طول دو به سه (۲ به ۳) بالاترین امتیازات کارایی انرژی در سال را دارد.

کلمات کلیدی:

فرم ساختمان، سیستم غیر فعال، اشکال پایه، اشکال سایه انداز و بدون سایه انداز بر خود

مقدمه

با توجه به ضرورت بهینه سازی مصرف انرژی در بخش ساختمان، فواید بهینه سازی مصرف انرژی در بخش ساختمان را می‌توان در چهار بخش ۱- کمک به اقتصاد ملی، ۲- کمک به اقتصاد خانواده، ۳- کاهش مصرف سوخت و در نتیجه کاهش آلودگی‌های ناشی از آن و ۴- حفظ ذخایر سوخت‌های فسیلی برای نسل‌های آینده خلاصه نمود [۲]. در رابطه با بهینه سازی مصرف انرژی ساختمان‌ها بوسیله انرژی خورشیدی، مطالعات مشابهی انجام گرفته است و این پژوهش سعی بر آن دارد تا با ارائه راهکارهای طراحی واحدهای مسکونی پاسخده به نیازهای اولیه ساکنین بپردازد و در عین حال، رویکردهای استفاده از انرژی خورشیدی از قبیل رسیدن به اصول استفاده بهینه از انرژی پاک به همراه بهره‌وری و صرفه اقتصادی را داشته باشد. آنچه تا کنون وجود دارد، دستورالعمل‌های طراحی خانه‌های صفر انرژی با استفاده از روش‌های غیر فعال با توجه به انرژی کارآمد خورشیدی تا حد زیادی محدود به شکل مستطیلی است و عدم انعطاف پذیری معماری آن، مانع اقبال عمومی مردم و معماران، برای استفاده بهینه از انرژی خورشیدی در ساختمان می‌شود. گسترش طیف وسیعی از انرژی‌های کارآمد و بهینه خورشیدی در ساختمان، نیاز به درک درستی از معایب و مزایای مرتبط با اشکال مختلف ساختمان و تاثیرات آنها بر یکدیگر در خصوص عملکرد انرژی ساختمان دارد [۱]. هدف این تحقیق دستیابی به بهینه سازی مصرف انرژی در واحدهای همسایگی از طریق به حداکثر رساندن پتانسیل خورشیدی واحد مسکونی، به صورت مجزا و مجموعه ای در شهر سمنان است. در این مطالعه، پتانسیل‌های خورشیدی اشاره به بهره‌برداری غیر فعال تابش‌های خورشیدی دارد. پتانسیل غیر فعال شامل تابش و انتقال گرما، ذخیره انرژی خورشیدی و نور روز از طریق سطح نمای ساختمان می‌باشد و محل تحقیق نیز مناطق گرم و خشک شهر سمنان با عرض جغرافیایی ۳۵ درجه و ۳۴ دقیقه است. این روش براساس بررسی نظاممند پارامترهای طراحی هندسه خانه‌ها و حاکم بر عملکرد کلی انرژی به طور جداگانه و ترکیبی طراحی شده است. روش‌های طراحی می‌توانند به عنوان پایه و اساس توسعه دستورالعمل‌های طراحی جامع و روشهایی برای بهینه سازی مصرف انرژی، کمک کنند.

انرژی کارآمد و خانه‌های صفر انرژی

خانه صفر انرژی را می‌توان خانه‌ای که حدود ۷۰-۶۰ درصد به بهینه سازی مصرف انرژی کمک می‌کند، تعریف کرد [۱۰] مفهوم طراحی خانه صفر انرژی ممکنی بر رویکردی دوگانه است: اجرای اقدامات بهره‌وری انرژی برای به حداقل رساندن تقاضای انرژی و استفاده از فناوری‌های انرژی خورشیدی به تعادل انرژی مورد نیاز به صورت سالانه کمک می‌نماید [۷]. تحقق خانه صفر انرژی بویژه در سطح بالا، با بکارگیری سیستم‌های هوشمند ساختمان به منظور بهینه سازی مصرف سوخت میسر می‌شود [۵]. امروزه در مورد توجه به استانداردها در مصرف انرژی ساختمان‌ها پیشرفت‌های فنی عمدتی شده است و از جمله این استانداردها می‌توان به بار گرماش و سرمایش، روشنایی و بارهای

لوازم خانگی اشاره کرد. "PassivHaus" در سوئیس از نمونه های موفق این استانداردها می باشدند [۹]. در کانادا برنامه 2000-R نیز یکی از استاندارد های موثر کاهش مصرف انرژی است. این برنامه روشی برای رسیدن به کاهش حدود ۳۰ درصد کل مصرف انرژی نسبت به مصرف انرژی یک مسکن استاندارد است. در ایران نیز می توان به مبحث ۱۹ مقررات ملی و راهنمای آن با عنوان "صرفه جویی در مصرف انرژی" اشاره کرد. اجزای پوشش ساختمان شامل سطح عایق حرارتی، ضخامت هوا و عملکرد در و پنجره عوامل موثری هستند که در مصرف انرژی ساختمان موثرند.

انرژی و اشکال ساختمان

این بخش به بررسی ادبیات اثرات شکل ساختمان در جذب انرژی خورشیدی و کارایی انرژی می پردازد. شکل ساختمان نقش مهمی در مدیریت مصرف انرژی بازی می کند و می تواند باعث بهبود جذب انرژی خورشیدی در ساختمان گردد [۶]. مطالعات انجام شده با رویکرد روشمند در رابطه با اثرات شکل ساختمان در پتانسیل جذب و استفاده از انرژی خورشیدی نادر است. نمونه های موجود در ادبیات در درجه اول به نسبت های ابعادی ساختمان های مستطیل شکل، جهت گیری آنها و یا بررسی سایه اندازی آنها متمرکز است. همچنین مطالعات بسیار کمی درباره ساختمان های غیر مستطیلی و تاثیر آنها بر انرژی تابشی انجام شده است. به عنوان مثال، لینگ (۲۰۰۷)، در مطالعه ای به بررسی اثر ساختمان های بلند با دو شکل هندسی مستطیل شکل بدون سایه (بدون سایه اندازی بر خود) و بیضی، با نسبت ابعاد مختلف پرداخته است. هدف از این مطالعه، شناسایی شکل مطلوب ساختمان برای به حداقل رساندن مجموع انرژی تابشی خورشیدی دریافتی در مناطق با عرض جغرافیایی کم است.

اشکال مستطیلی

بیشتر مطالعات به مطالعه تغییرات شکل مستطیل محدود شده است که این تغییرات عمدها مطالعه اثر فشردگی ساختمان ها یا ابعاد نسبی نماهای جنوبی به نماهای دیگر است. معمولاً شاخص های عددی ساده ای که بر فشردگی هندسی ساختمان ها متمرکزند، اعمال می شوند. همچنین فشردگی توسط یک ضرب بیان شکلی تعریف می شود که در اصل، نسبت سطح کلی خارجی ساختمان به حجم داخلی آن می باشد. بنا به نظر دیپکر، (۲۰۱۱) بین فشردگی ساختمان و میزان جذب انرژی گرمایی یک رابطه خطی برقرار است . این نظریه براساس مطالعه بر روی ۱۴ ساختمان مشتق شده از همان شکل پایه مستطیل شکل بیان شده است.

یک پارامتر مهم در طراحی ابعاد ساختمان های خورشیدی مستطیل شکل، نسبت ابعاد تعریف شده به عنوان نسبت عرض نمای جنوبی نسبت به نمای جانبی است. نسبت ابعاد در مطالعات مختلف به عنوان یک عامل مهم در طراحی ساختمان های با انرژی بهینه، تحت شرایط مختلف آب و هوایی تاکید دارند، در آب و هوای سرد، نسبت ابعاد بهینه برای

طراحی خانه های خورشیدی مستطیل شکل حدود ۱۰.۳ تا ۱۰.۵ است [۴]. برای درک محدودیتهای عامل فشردگی به عنوان یک عنصر نشان دهنده شکل ساختمان، تعدادی از مطالعات بر روی شکل های غیر مستطیلی انجام گرفته است، به عنوان مثال، پسیلنر و مهدوی تاثیر پارامترهای دیگر از جمله هندسه کلی ساختمان، مساحت سطوح شفاف و جهت گیری ساختمان را تجزیه و تحلیل کردند [۸]. اشکال متعددی با استفاده از یک سیستم هندسی مدولار بر اساس شکل های پایه مکعبی تولید شد. تحقیقات آنها نشان می دهد که فشردگی و بخشی از سطوح شفاف پوشش ساختمان تاثیر قابل توجهی بر عملکرد حرارتی اشکال مختلف ساختمان مسکونی دارد. همچنین آنها نتیجه گرفتند که شاخص های ساده هندسی مانند ضریب ابعاد شکل از پیش بینی میزان جذب هندسه های غیر مستطیل شکل و همچنین پیش بینی پدیده هایی مانند خطر گرم شدن بیش از حد ساختمان ناتوان هستند.

اشکال غیر مستطیلی

العنزی (۲۰۰۹) با استفاده از یک مدل خطی، یک مدل ادغامی برای پیش بینی تاثیر شکل ساختمان های اداری در بهره وری انرژی با پنجره های با اندازه های مختلف و انواع شیشه را توسعه داد. او در مطالعه خود اشکال متعددی از ساختمان های بلند از جمله اشکال مستطیلی، L شکل، T شکل، صلبی شکل، H شکل و U شکل را مورد بررسی قرار داد و ابعاد مختلف اشکال را با توجه به مساحت مستطیل مرجع مورد مطالعه به دست آورد. نتایج اصلی مطالعه وی نشان می دهد که سه عامل فشردگی نسبی، نسبت پنجره به دیوار و نوع شیشه اثر عمده ای بر کل مصرف انرژی ساختمان دارند.

روش تحقیق

در این پژوهش، بررسی اثرات پارامترهای طراحی بر عملکرد انرژی ساختمان ها با بررسی اثر فرم واحد مسکونی مستقل شروع می شود. در آغاز هر مرحله از تحقیقات، واحد های مسکونی با مقادیر مختلف پارامترها طراحی شده اند و به دنبال آن، به منظور بررسی اثرات و اهمیت آنها، شبیه سازی و تجزیه و تحلیل نتایج صورت گرفته است. پارامترهای شکلی در این تحقیق عمدتاً به علت تاثیر آنها بر سایه انتخاب شده است. این پارامترها در ادامه به تفصیل بیان شده اند. ابزار تحلیلی مورد نیاز در تحقیق باید از نظر حیطه عمل، چند بخشی بوده تا قابلیت محاسبه مصرف انرژی در بخش های مختلف را داشته باشد و از منظر ماهیت روش شناختی، به دلیل اهمیت ویژگی های فضایی-کالبدی اشکال پیشنهادی در سناریو های مختلف، حتماً باystsی قابلیت تحلیل فضایی در آن وجود داشته باشد [۳]. لذا نرم افزار Ecotect (اندازه گیری انرژی مصرفی در بخش ساختمان) به عنوان نرم افزار تحلیلی در این تحقیق مورد استفاده قرار گرفته است.

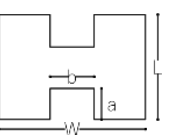
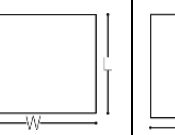
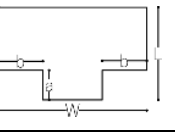
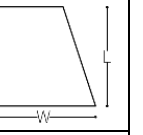
نتایج و تحلیل آنها

تعداد زیادی از اشکال با هندسه های مختلف برای بررسی عمیق پتانسیل انرژی خورشیدی مورد بررسی قرار

گرفته‌اند. این مطالعه به بررسی اثرات تعدادی از پارامترها در متغیر وابسته اصلی (پتانسیل انرژی خورشیدی) پرداخته است. پتانسیل انرژی خورشیدی شامل تابش در نمای جنوب و انتقال آن توسط پنجره هاست. انواع اشکال پایه ساختمان‌ها (مستطیل، مربع، ذوزنقه، L، H، U، T) و پنجره‌های جنوبی واحدها به عنوان پارامترهایی هستند که اثرات آنها بر متغیر پاسخ مورد بررسی قرار گرفته است. علاوه بر موارد ذکر شده، تغییرات در هندسه انواع شکل L است که این تغییرات فرم شامل مقادیر مختلفی از نسبت ابعاد بال‌ها و تغییرات زاویه بین این بالهاست. همچنین به اثر نماهای سایه انداز با مطالعه شکل U با نسبت عمق‌های مختلف پرداخته شده است.

اشکال پایه

هفت طرح اولیه واحد‌های مسکونی مورد بررسی قرار گرفته است که اشکال مسکونی شامل اشکال بدون سایه (مستطیل، مربع، ذوزنقه) و اشکال سایه انداز شامل (L، U، H و T) می‌باشند شکل (۱). یک پارامتر مهم مشخص اشکال سایه انداز این است که خود شان بر خود سایه می‌اندازن.

اشکال سایه انداز	اشکال بدون سایه
	
	

W: ابعاد کلی نمای جنوبی L: ابعاد کلی نمای شرقی/ غربی
a: نمای سایه دار b: نمای سایه انداز

شکل (۱) اشکال پایه (ماخذ: نگارندگان)

سه نوع اندازه پنجره جنوبی که مقادیر ۱۰، ۳۵ و ۵۰ درصد از نمای جنوبی در همه اشکال را تشکیل می‌دهند، مورد بررسی قرار گرفته است.

انواع اشکال پایه

شکل مستطیل: اثر دو پارامتر در پتانسیل خورشیدی و کارایی انرژی در طرح مستطیل شکل مورد بررسی قرار گرفته که شامل نسبت ابعاد و جهت گیری ساختمان نسبت به جنوب است. مقادیر نسبت ابعاد از محدوده نسبت ۰٪ (که در نتیجه آن، نمای جنوبی باریک تر از نمای عمود بر آن است) تا مقدار ۲٪ متغیر است. نسبت ابعاد ۱٪ هم برای پلان مربع

اختصاص داده شده است. زاویه جهت گیری، نسبت به جنوب، بین -60° درجه (چرخش شرقی) تا $+60^{\circ}$ درجه (چرخش غربی) است.

انواع شکل L: شکل L متشکل از یک بال اصلی و یک بال چسبیده به آن است، جناح اصلی شرقی به غربی می‌باشد تا به عنوان نمای بزرگتر روبه جنوب باشد، بال چسبیده به آن می‌تواند در هر دو انتهای غربی (W)، یا شرقی (E)، یا شمال (N) و یا جنوب (S) باشد. بنابراین، پیکربندی WS-L، به عنوان مثال، وصل شده باشد. همچنین می‌تواند رو به جنوب (S) باشد. نشان دهنده شکل L با بال متصل به انتهای غربی جناح اصلی و به سمت جنوب است.

نسبت عمق

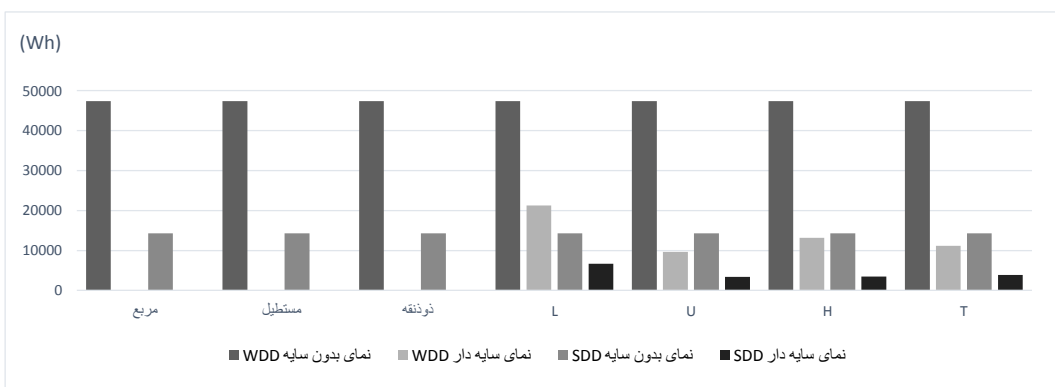
عمق نمای دریافت کننده سایه و تعداد آنها، نقش مهمی در تعیین میزان تابش خورشیدی در سطح نمای سایه دار و انتقال آن توسط پنجره‌ها بازی می‌کند. دو مقدار از نسبت‌های عمق $1/2$ و $2/3$ برای شکل L و شکل U (برای مطالعه اثر دو جبهه سایه)، تعیین گردید. همچنین در طراحی واحد‌ها با نسبت‌های عمق متغیر، مساحت نیز ثابت نگه داشته شده است.

ارائه و تجزیه و تحلیل نتایج بررسی اشکال

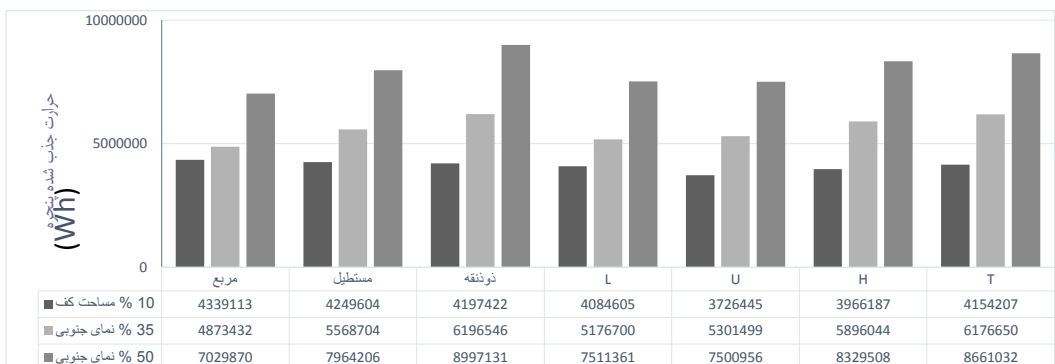
شبیه سازی‌هایی برای تجزیه و تحلیل اثر پارامترهای طراحی نامبرده شده در پتانسیل انرژی خورشیدی انجام شده است. در ابتدا، اثرات طراحی اشکال پایه ارائه شده و پس از آن تجزیه و تحلیل تغییرات در طرح پایه انجام شده است.

اثرات طراحی اشکال پایه

نتایج شامل حد مجاز سایه در اشکال سایه دار مانند L، U، H و T است و تایش کل در مقایسه با تایش در شکل مستطیلی که به عنوان شکل مرجع می‌باشد، مدنظر است. شکل (۲) کل تابشی که از یک پنجره جنوبی، برای هر دو نمای سایه دار و بدون سایه، در روزهای طراحی زمستان (WDD) و تابستان (SDD) منتقل می‌شود (بر حسب وات ساعت) را نمایش می‌دهد. شکل (۳) جذب حرارت خورشیدی سالانه در ارتباط با ابعاد مختلف پنجره‌ها، برای هر یک از اشکال مورد مطالعه را نشان می‌دهد. در حالی که برای اندازه پایه پنجره ها (10×10 درصد از مساحت طبقه) اثر شکل قابل توجه نیست، جذب حرارت برای پنجره های 35×35 درصد و 50×50 درصد از مساحت نما، بشدت تحت تاثیر شکل قرار دارد.



شکل ۲) اشعه های منتقل شده از پنجره ها در نمای جنوبی برای سردترین روز سال و گرمترین روز سال (ماخذ: نگارندگان)



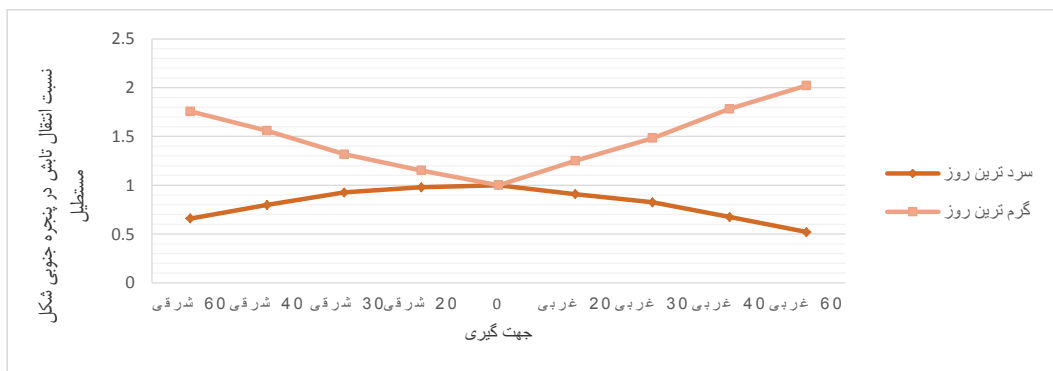
شکل ۳) جذب حرارت سالانه انواع پنجره (با انواع مساحت) جنوبی در تمامی اشکال (ماخذ: نگارندگان)

اثرات طراحی اشکال اصلی

در تحلیل ها تمام تغییرات اشکال پایه، با پنجره جنوبی ۳۵ درصد نما مورد مطالعه است، زیرا این درصد از پنجره جنوبی کاهش قابل توجهی در بار گرمایشی دارد و به مقدار کمی بار سرمایشی را افزایش می دهد.

شکل مستطیل: انواع شکل مستطیل شامل تغییر نسبت ابعاد و جهت گیری از جنوب بررسی شده و اثرات این پارامترهای طراحی بر عملکرد انرژی بیان شده است.

جهت گیری: اثر جهت گیری به وسیله محاسبه نسبت تابش منتقل شده که با زوایای جهت گیری مختلف به وسیله پنجره های نمای جنوبی منتقل می شود، بررسی شده است. نسبت تابش منتقل شده توسط چرخش نمای جنوبی برای دو روز طراحی از جنوب به شرق(-) و به سمت غرب(+) محاسبه شده است شکل (۴). در سردترین روز با چرخش ۶۰ درجه به سمت شرق یا غرب، جذب انرژی به نسبت زاویه تا ۵۰ درصد کاهش می یابد و در گرمترین روز به نسبت چرخش به سمت شرق و غرب به نسبت چرخش، جذب تا ۱۰۰ درصد افزایش پیدا می کند.



شکل ۴) تاثیر جهت گیری در انتقال پرتو های خورشید طی یک دوره (گرمترین روز سال و سردترین روز سال) (ماخذ: نگارندگان)

اشکال سایه دار

انواع اشکال سایه دار شکل L و تاثیر تغییر پارامتر های نسبت عمق و زاویه بین بال ها مورد مطالعه قرار گرفته است. شکل L می تواند به عنوان یک شکل پایه از انواع اشکال سایه انداز در نظر گرفته شود و دیگر اشکال سایه انداز می توانند ترکیبی از تغییرات این شکل در نظر گرفته شوند.

نسبت ابعاد

تابش خورشیدی در نمایهای سایه دار یک شکل سایه انداز به میزان زیادی به نسبت عمق و تعداد نمایهای سایه انداز بستگی دارد. تاثیر نسبت عمق در تابش و انتقال اشعه های خورشیدی اشکال U و L برای روز طراحی زمستان در جدول (۱) نشان داده شده است. نتایج نشان می دهد که تابش به طور متوسط در هر متر مربع در نمای جنوبی سایه دار شکل L برای مقادیر نسبت عمق ۱/۲، ۱ و ۳/۲ به ترتیب ۱۲ درصد، ۲۲ درصد و ۲۶ درصد نسبت به نمای بدون سایه جنوبی کاهش می یابد. همچنین اثر کاهش میانگین تابش در نمای سایه دار شکل U و انتقال تابشها توسط پنجره های آن، حدوداً دو برابر شکل L (با نسبت های عمق مشابه) است، جدول (۱).

جدول (۱) تاثیر نسبت عمق در انتقال پرتو شکل های L, U (ماخذ: نگارندگان)

a/b=3/2	a/b=1	a/b=1/2	تعداد سایه های نمایهای مورد مطالعه	شکل
%۲۶	%۲۲	%۱۲	کاهش میانگین تابش نمای سایه دار	۱ شکل L
%۳۴	%۲۷	%۷	کاهش میانگین انتقال تابش	
%۵۳	%۴۳	%۲۳	کاهش میانگین تابش نمای سایه دار	۲ شکل U
%۶۰	%۴۶	%۱۴	کاهش میانگین انتقال تابش	

$a/b = \text{نسبت ابعاد}$

چرخش بال در انواع اشکال L

با توجه به اقلیم گرم و خشک، انواع شکل L با نسبت عمق ۱/۲ طراحی شده و تاثیر چرخش بال آنها در پتانسیل خورشیدی بررسی و با شکل مستطیل مقایسه شده است. دو نکته اصلی در تحلیل تابش و انتقال اشعه خورشیدی در انواع شکل L شامل - زاویه بزرگتر بین بال ها به وسیله کمتر کردن سایه، اجازه انتقال بیشتر تابش را می دهد. زمانی که زاویه بالها از ۱۲۰ درجه بزرگتر است، کاهش قابل توجهی در تابش خورشیدی بر نمای سایه دار صورت نمی گیرد. چرخش نمای جنوبی بال شکل L باعث افزایش جذب حرارتی در نمای جنوبی برای سرددترین روز و کاهش جذب حرارتی در گرددترین روز می شود. انواع L به طور مشخص، علاوه بر نسبت عمق، توسط زاویه β (انحراف از ۹۰ درجه زاویه احاطه شده توسط بالهای L) مشخص می شوند. چهار مقدار ۱۵، ۳۰، ۴۵ و ۶۰ درجه برای β در این مطالعه در نظر گرفته شده است. انواع اشکال L به وسیله کاراکتر های تعیین موقعیت و زاویه بال ها مشخص شده است. به عنوان مثال، WS30 یک نوع از L با یک بال متصل به انتهای غربی از جناح اصلی و رو به جنوب است که زاویه β آن ۳۰ درجه است.

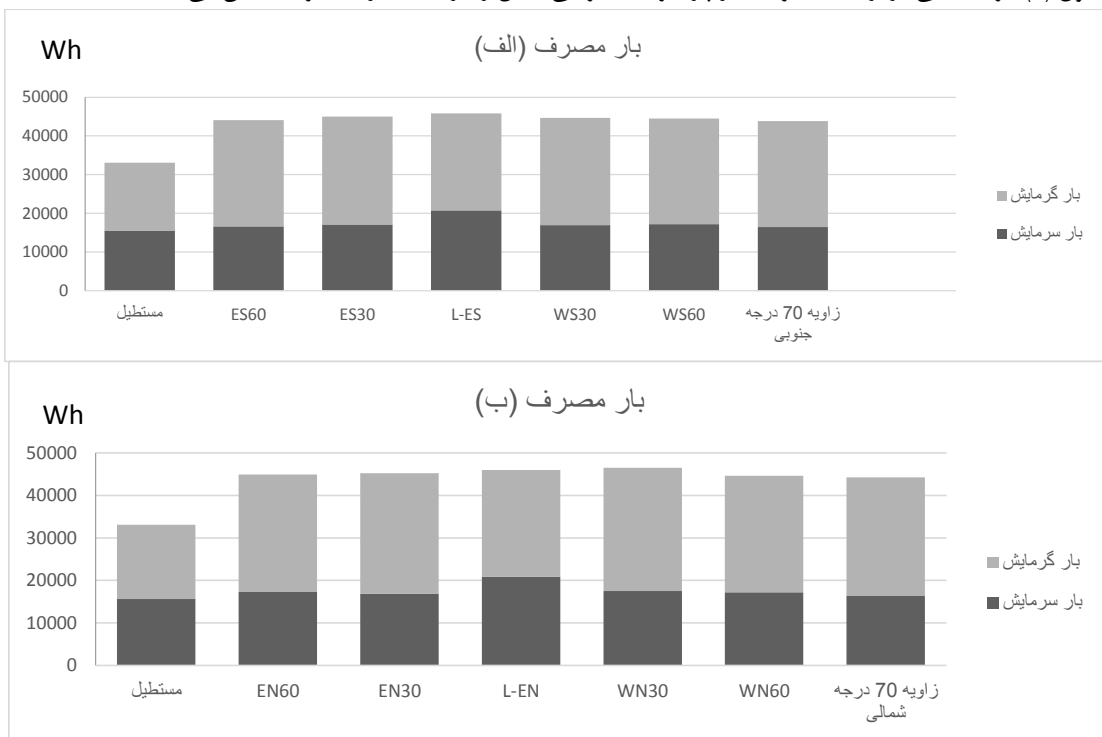
نیاز انرژی

چرخش بال انواع L تاثیر مهمی در بار گرمایش آنها ندارد. شکل L با بال جنوبی و زاویه $\beta=60$ درجه و ES60 و WS60 (WS60) و زاویه ۷۰ درجه به ترتیب ۳۶، ۳۵ و ۳۶ درصد بیشتر از مستطیل مرجع دارای بار گرمایش هستند. بار گرمایش انواع L نیز حدود ۶ تا ۲۵ درصد بیشتر از مستطیل است که این افزایش با انتقال تابش به وسیله پنجره جنوبی در صبح و عصر تابستان ایجاد می شود که با تنظیم مساحت پنجره چرخیده شده با نما می توان این اثر را کاهش داد. بار گرمایش و سرمایش اشکال L بال شمالی (WN و EN) نسبت به انواع بال جنوبی (WS و ES) تفاوت چندانی نمی کند. به عنوان مثال، افزایش بار گرمایشی EN60 حدود ۳۷ درصد بیشتر از شکل مرجع (مستطیل) است در حالی که ۱ درصد نسبت به ES60 بیشتر است. (شکل ۵ الف و ب) بار گرمایش و سرمایش مصرفی انواع اشکال L را بالهای جنوبی و شمالی نمایش می دهد.

یافته ها

جدول عملکردی واحد های مسکونی در این بخش به ارائه کامل مقادیر پارامتر های طراحی مورد بحث این تحقیق و حداکثر اثرات این پارامتر ها می پردازد. مقدار اهمیت اثرات مختلف به وسیله نماد پیکان در پنج سطح مختلف  نشان داده شده است. پیکان رو به راست بیان می دارد که هیچ اثر قابل توجهی وجود ندارد، پیکان پایین نشان دهنده اثر نامطلوب و به سمت بالا اثر مثبت را نشان می دهد. این اثرات به صورت درصد بیان و با نمونه مرجع (مستطیل) مقایسه شده اند. لازم به ذکر است که برای ارزیابی بار های گرمایش و سرمایش، کاهش این بارها در مقایسه با نمونه مرجع، یک اثر مطلوب است و با علامت منفی و پیکان به سمت بالا نشان داده شده است.

جدول (۲) اثرات اصلی در ارتباط با هر یک از پارامترهای طراحی شکل را در سه معیار عملکردی نشان می‌دهد.



شکل (۵) بار گرمایش و سرمایش سالانه شکل L و انواع آن (الف) جنوبی، (ب) شمالی در مقایسه با شکل مرجع (ماخذ: نگارندگان)

ارزیابی و انتخاب

جدول (۳) ارزیابی گزینه‌های طراحی شکل واحد های مسکونی را نمایش می‌دهد. ارزیابی این گزینه‌ها بر اساس مجموع نمرات و وزن معیار های عملکردی هستند. این وزن دهی بر اساس آب و هوای با عرض جغرافیایی ۳۵ درجه و ۳۴ دقیقه انجام شده و امتیازات با توجه به میزان اثر گذاری (در مقایسه با نمونه مرجع شکل مستطیل) پارامترها بر میزان مصرف انرژی اختصاص داده شده اند (برای مصرف بالاتر نمره پایین تر در نظر گرفته شده است). گزینه‌های مناسب متمایل به رنگ سبز و نامناسب متمایل به رنگ قرمز می‌باشند.

وزن ها و نمرات نسبی آنها به آب و هوای بسته است. به همین ترتیب، اثرات پارامترهای طراحی مانند شکل خانه، طرح بندی سایت و تراکم در اقلیم های مختلف مشابه هستند، اما اهداف با آب و هوای تغییر می کنند. به عنوان مثال، زمانی که سایه های متقابل در آب و هوای سرد نامطلوب است، ممکن است در آب و هوای گرم مطلوب باشند و اثر مثبت بر بار سرمایش که یکی از معیارهای کارایی اصلی است داشته باشند. بر این اساس، در جدول (۳) برای بار مصرف گرمایش ضریب ۵ و برای بار مصرف سرمایش ضریب ۴۶۶ در نظر گرفته شده است.

جدول (۲) پارامترهای شکل و تاثیرات آنها (در حد مصرف گرمایش و سرمایش اشکال مختلف نسبت به نمونه مرجع شکل مستطیل)
(ماخذ: نگارندگان)

پتانسیل خورشیدی		صرف انرژی		اشکال	
تایش بر نمای جنوبی (بیشتر بهتر)		سرمایش (کمتر بهتر)	گرمایش (کمتر بهتر)	مقدار	نسبت ابعاد
↑ ۲۵%	↑ ۴%	→ ۵%		۲	
↗ ۱۲%	↑ ۴%	→ ۴%		۱.۶	
→ ۰%	↑ ۰%	→ ۰%		۱.۳	
↘ -۱۲%	↑ -۱%	→ -۱%		۱	
↓ -۳۱%	↑ ۵%	→ ۱%		۰.۶	
					جهتگیری نسبت به جنوب
→ ۵%	↑ ۳%	→ ۲%		۶۰	
↑ ۲۲%	↓ ۲۵%	↑ -۳%		۴۵	
↗ ۶%	→ ۶%	→ -۱%		۳۰	
→ ۰%	↑ ۰%	→ ۰%		۰	
					نسبت عمق
→ -۴%	↑ ۰%	↑ -۲%		۱/۲	
↑ ۳۰%	↑ ۵%	↓ ۱۱%		۱	
↓ -۳۱%	↑ -۸%	↑ -۵%		۲/۳	
					جهتگیری بال
↗ ۱۰%	↑ ۴%	↘ ۹%		SW	
↗ ۸%	↑ ۴%	↘ ۸%		SE	
↗ ۱۴%	↑ -۳%	↘ ۸%		N	
					تعداد نماهای سایه دار
→ -۴%	↑ ۰%	↑ -۲%		۱	
→ -۲%	→ ۶%	↓ ۱۵%		۲	
					زاویه بین بال ها
↗ ۱۰%	↑ ۴%	↘ ۸%		۰	
↗ ۱۰%	↑ ۴%	↘ ۷%		۳۰	
↑ ۲۹%	↑ ۵%	→ ۵%		۴۵	
↗ ۱۴%	→ ۷%	→ ۴%		۶۰	
↗ ۱۴%	↑ -۲%	→ ۱%		۷۰	
					پنجره های جنوب ۳۵٪ از سطح نما می باشد
تمام آلتراتیووهای موجود در جدول با نمونه مرجع مقایسه شده اند، نمونه مرجع شکل مستطیل با نسبت ابعاد ۱/۳ می باشد که بصورت خط چین در جدول مشخص شده است.					
اشکال بدون سایه و سایه انداز از مناظر مختلف بررسی شده اند، آلتراتیووهای مناسب بارنگ متتمایل به سبز و نا مناسب با رنگ متتمایل به قرمز مشخص شده اند.					

جدول (۳) پارامترهای شکل و تاثیرات آنها (ماخذ: نگارندگان)

امتیاز	مصرف		مقدار	پارامتر ها	اشکال
	سرمایش	گرمایش			
	ضریب وزن دهی ۴/۶۶	ضریب وزن دهی ۵			
↖ -۴۳/۶۴	-۴	-۵	۲	نسبت ابعاد بدون سایه (مستطیل، مریع، ذوزنقه)	T, U, H انداز (L و U) زاویه بین بال ها
↘ -۳۸/۶۴	-۴	-۴	۱/۶		
↗ .	.	.	۱/۳		
↑ ۹/۶۶	۱	۱	۱		
→ -۲۸/۳۰	-۵	-۱	۰/۶		
→ -۲۳/۹۸	-۳	-۲	۶۰		
↓ -۱۰۱/۱۵۰	-۲۵	۳	۴۵		
→ -۲۲/۹۶	-۶	۱	۳۰		
↗ ۰/۰۰	.	.	.		
↑ ۱۵/۰۰	.	۳	۲/۱		
↓ -۷۸/۳۰	-۵	-۱۱	۱	نسبت عمق	جهت بال
↑ ۶۲/۲۸	۸	۵	۲/۳		
↖ -۶۳/۶۴	-۴	-۹	SW (جنوب و غرب)		
↘ -۵۸/۶۴	-۴	-۸	SE (جنوب و شرق)		
→ -۲۶/۰۲	۳	-۸	WN (غرب و شمال)	تعداد نمایهای سایه انداز (L و U)	T, U, H انداز (L و U) زاویه بین بال ها
↗ ۱۰/۰۰	.	۲	۱		
↓ -۱۰۲/۹۶	-۶	-۱۵	۲		
↖ -۵۸/۶۴	-۴	-۸	.		
↘ -۵۳/۶۴	-۴	-۷	۳۰		
↖ -۴۸/۳۰	-۵	-۵	۴۵	ضد هر کدامیکی از این ابعاد را می توان با جمع کردن آنها به ۱ در نظر گرفت.	T, U, H انداز (L و U) زاویه بین بال ها
↖ -۵۲/۶۲	-۷	-۴	۶۰		
↗ ۴/۳۲	۲	-۱	۷۰		
↑ ۰/۰۰	.	.	.		

نتیجه گیری

این تحقیق با پل زدن بر شکاف بین مهندسی، معماری و برنامه ریزی شهری به ارائه رویکردی نو برای ارزیابی عملکرد انرژی واحد همسایگی و طراحی بهینه واحد ها از نظر استفاده از انرژی خورشیدی می پردازد و نشان دهنده این مهم است که پارامترهای مختلف باید در بهینه سازی اشکال برای طراحی غیر فعال خورشیدی واحدهای مسکونی در نظر گرفته شوند. با استفاده از اشکال پایه (مستطیل، مربع، ذوزنقه، L، U و T)، می توان به شکل های مختلف واحد ها و طرح بندی های متنوع سایت رسید. شکل مستطیل با نسبت ابعاد ۱.۳ در این تحقیق به عنوان شکل مرجع در نظر گرفته شده است و اشکال دیگر با آن مقایسه شده اند. بر اساس نتایج بدست آمده، در اقلیم شهر سمنان اولویت انتخاب اشکال و فرم واحد های همسایگی از لحاظ کارایی مصرف انرژی بدین شرح است: در بین اشکال بدون سایه (مربع، مستطیل و ذوزنقه)، مربع کارایی بهتری نسبت به مستطیل دارد و پس از آن، مستطیل با نسبت ابعاد ۱.۳ مناسب است. در میان اشکال سایه انداز (L، U، H و T)، شکل L با نسبت عمق ۲ به ۳ و جهت گیری بال به سمت غرب و شمال و زاویه بین بالهای آن، ۷۰ درجه، بهترین گزینه از لحاظ کارایی مصرف انرژی است. همچنین نتایج بیان می دارد در مقایسه بین اشکال سایه انداز و بدون سایه، شکل L نسبت به مربع و مستطیل، کارایی بالاتر در بحث مصرف انرژی از خود نشان می دهد.

منابع

- [۱] رحیمی میبدی، نسیم، ۱۳۹۰، طراحی واحد همسایگی در بیزد (با هدف افزایش قابلیت در مسکن امروز)، دانشگاه بیزد، پایان نامه کارشناسی ارشد مهندسی معماری.
- [۲] شرکت ملی نفت ایران، ۱۳۷۹ - ۱۳۸۷، عملکرد شرکت بهینه سازی مصرف سوخت کشور در بخش ساختمان، بهینه سازی مصرف انرژی در ساختمان.
- [۳] فتح جلالی، آرمان، ۱۳۸۹، تدوین معیارهای برنامه ریزی کاربری اراضی شهری با رویکرد کارایی انرژی، دانشگاه تربیت مدرس، پایان نامه کارشناسی ارشد مهندسی معماری.
- [4] Charron R and Athienitis, A. 2006. "Design and optimization of net zero energy solar homes",
- [5] ASHRAE Transactions 112 (2): 286-295.
- [6] Beal Colin M., Ashlynn S. Stillwell, Carey W. King, Stuart M. Cohen, Halil Berberoglu, Rajendra P. Bhattacharai, Rhykka L. Connelly1, Michael E. Webber, Robert E. Hebner, (2012) "Energy Return on Investment for Algal Biofuel Production Coupled with Wastewater Treatment", Water Environment Research, Volume 84, Number 9.
- [7] Chan Yi Jing, Mei Fong Chong, Chung Lim Law, D.G. Hassell, (2009) "A review on anaerobic-aerobic treatment of industrial and municipal wastewater", Chemical Engineering Journal 155: 1-18.
- [8] Eric A. Zielke, (2006) "Application of Microbial Fuel Cell technology for a Waste Water Treatment Alternative", Microbial Fuel Cell technology, February 15.

- [9] Gašpariková E., Kapusta Š., Bodík I., Derco J., Kratochvíl K., (2005) "Evaluation of Anaerobic-Aerobic Wastewater Treatment Plant Operations", Polish Journal of Environmental Studies Vol. 14, No. 1, 29-34.
- [10] Ghangrekar, M. M. and Shinde V.B., (2006) "Wastewater Treatment in Microbial Fuel Cell and Electricity Generation: A Sustainable Approach", 12th international sustainable development research conference, Hong Kong.
- [11] Guangming Z, Ru J, Guohe H, Min X, Jianbing L., (2007) "*Optimization of wastewater treatment alternative selection by hierarchy grey relational analysis*", Environmental Management; 82: 250 -259.